

Второе задание по вычислительной математике. Численные методы решения гиперболических систем уравнений. Уравнение переноса.

выполнила Кондрашина Анна, 7111 группа. Вариант 7

Постановка задачи:

Рассматривается система линейных гиперболических уравнений:

$$\begin{aligned} \frac{\partial \mathbf{u}}{\partial t} + \mathbf{A} \frac{\partial \mathbf{u}}{\partial x} &= \mathbf{b}(\mathbf{x}) \\ 0 < x < 1 \\ 0 < t < 1 \\ \mathbf{A} &= \begin{pmatrix} -\frac{5}{8} & \frac{1}{2} & -\frac{47}{8} \\ -\frac{1}{4} & 0 & -\frac{11}{4} \\ -\frac{41}{8} & \frac{19}{2} & -\frac{37}{8} \end{pmatrix} \\ \mathbf{b} &= (0 \quad 0 \quad 0) \end{aligned}$$

Необходимо построить численное решение задачи при помощи схемы П. Ларкса и полностью симметричной разностной схемы. Для каждой схемы выписать ПДП и определить, диссипативная или дисперсионная ошибка преобладает. Определить, монотонна ли схема, оценить апостериорный порядок сходимости каждой схемы.

Проанализируем систему

Перед тем, как приступить к построению численных решений нашей системы, преобразуем ее.

Вычислим собственные числа матрицы и собственные вектора:

$$\begin{aligned}\lambda_1 &= -5, e_1 = (1, \frac{1}{2}, 1)^T \\ \lambda_2 &= 2, e_2 = (-5, -2, 1)^T \\ \lambda_3 &= -1, e_3 = (3, 2, 1)^T\end{aligned}$$

Теперь мы можем перейти к инвариантам Римана:

$$\begin{aligned}R_1 &= u + \frac{1}{2} + r \\ R_2 &= -5u - 2v + r \\ R_3 &= 3u + 2v + r\end{aligned}$$

Тогда система примет вид:

$$\begin{aligned}\frac{\partial R_1}{\partial t} - 5 \frac{\partial R_1}{\partial x} &= 0 \\ \frac{\partial R_2}{\partial t} + 2 \frac{\partial R_2}{\partial x} &= 0 \\ \frac{\partial R_3}{\partial t} - 1 \frac{\partial R_3}{\partial x} &= 0\end{aligned}$$

А начальные условия станут:

$$\mathbf{R}(0, x) = \begin{pmatrix} \sin(\pi x) + \frac{1}{2} \cos(\pi x) + 1 + \sin(\pi x) \\ -5 \sin(\pi x) - 2 \cos(\pi x) + 1 + \sin(\pi x) \\ 3 \sin(\pi x) + 2 \cos(\pi x) + 1 + \sin(\pi x) \end{pmatrix}$$

Таким образом, наша система уравнений распалась на три независимых компонента. Чтобы найти решения исходной функции, найдем численное решение инвариантов Римана, и уже по ним найдем решения системы.

Постановка граничных условий

Для того чтобы использовать разностные схемы поиска инвариантов Римана, нам необходимо знать значение функции на границах расчетной области (при $x=0$ и $x=1$). Для этого используем характеристики. Мы исследуем однородную систему, поэтому инварианты Римана будут постоянными вдоль одного из семейств характеристик (а именно, вдоль характеристики $x + \lambda t = const$). Но только значений инвариантов, приносимых характеристиками, недостаточно, поэтому необходимо задать еще и граничные условия. К левой границе ($x = 0$) характеристиками от начальных условий приходят две характеристики, поэтому необходимо задать только одно дополнительное граничное условие. К правой границе от начальных условий значения переносятся только одной характеристикой, поэтому необходимо задать два граничных условия. Положим:

$$\begin{aligned}u_3(t, 0) &= \cos(\pi t) \\ u_3(t, 1) &= \cos(\pi t) \\ u_2(t, 1) &= \cos(\pi(1 + t))\end{aligned}$$

Метод Лакса

Для начала запишем, собственно, схему (схема приведена для модельного уравнения):

$$\frac{u_m^{n+1} - 0.5(u_{m+1}^n + u_{m-1}^n)}{\tau} + a \frac{u_{m+1}^n - u_m^n}{2h} = 0$$

Первое дифференциальное приближение (ПДП) для этой схемы будет иметь вид:

$$\frac{\partial u}{\partial t} + a \frac{\partial u}{\partial x} = \left(\frac{h^2}{2\tau} - \frac{\tau a^2}{2} \right) \frac{\partial^2 u}{\partial x^2} + O(h^2)$$

Коэффициент схемной вязкости можно переписать как:

$$\gamma = \left(\frac{h^2}{2\tau} - \frac{\tau a^2}{2} \right) = \frac{h^2}{2\tau} (1 - \sigma^2)$$

Откуда видно, что:

- 1) Схема обладает вторым порядком аппроксимации по координате, первым по времени;
- 2) Схема становится недиссипативной, при числе куранта равном единицы;
- 3) Схема не чувствительна к направлению потока;
- 4) При числе Куранта, меньшем единицы, схемная вязкость оказывается стабилизирующее воздействие, то есть схема устойчива при числе Куранта, меньшем единицы;

Подействуем на ПДП преобразованием Фурье, получим:

$$\widetilde{u}_t + a(-i\omega)\widetilde{u}_x = \widetilde{u} \left(\frac{ah^2}{\tau} - \frac{\tau a^2}{2} \right)$$

Откуда можно сделать вывод, что в схеме преобладает диссипативная погрешность.

Как уже ранее отмечалось, схема имеет второй порядок аппроксимации по координате и первый по времени, а значит, согласно теореме Годунова, не является монотонной.

Теперь построим решения, используя разностную схему Лакса

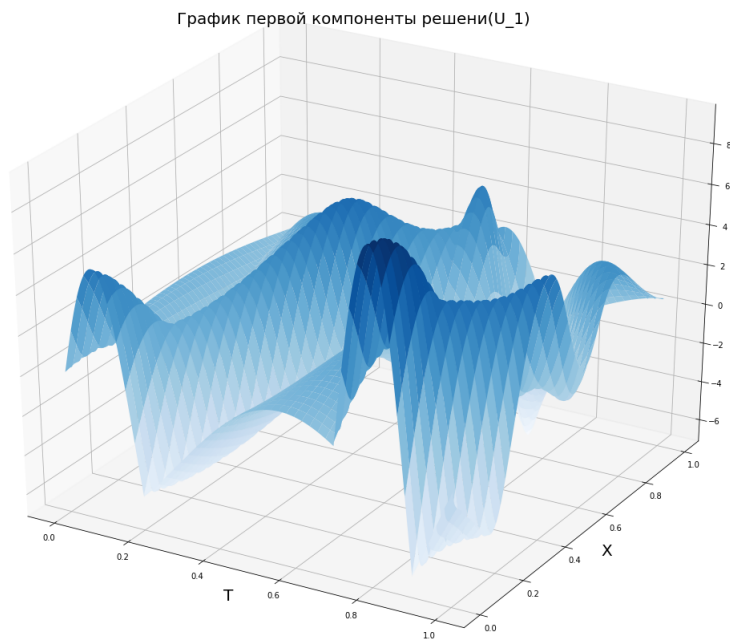
In [5]:

```
from PIL import Image
im1 = Image.open('FirstU.png')
im2 = Image.open('FirstV.png')
im3 = Image.open('FirstR.png')
```

In [6]:

im1

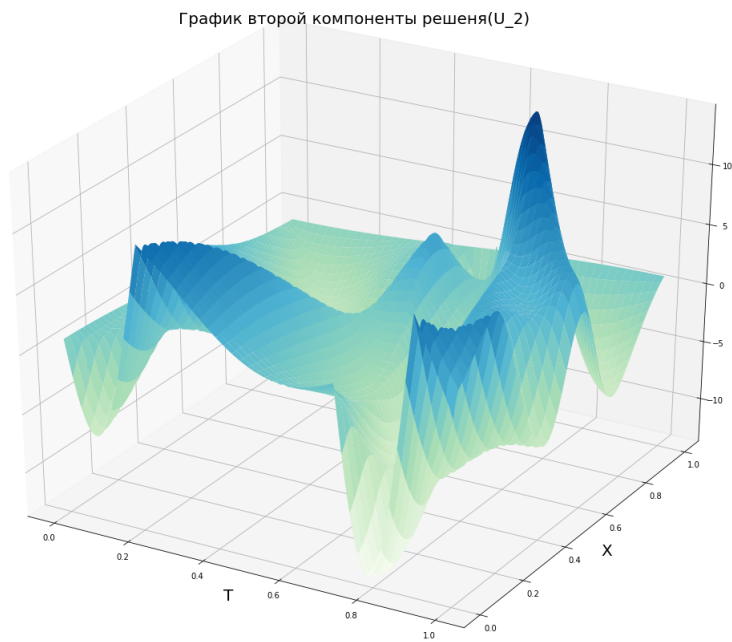
Out[6]:



In [7]:

```
im2
```

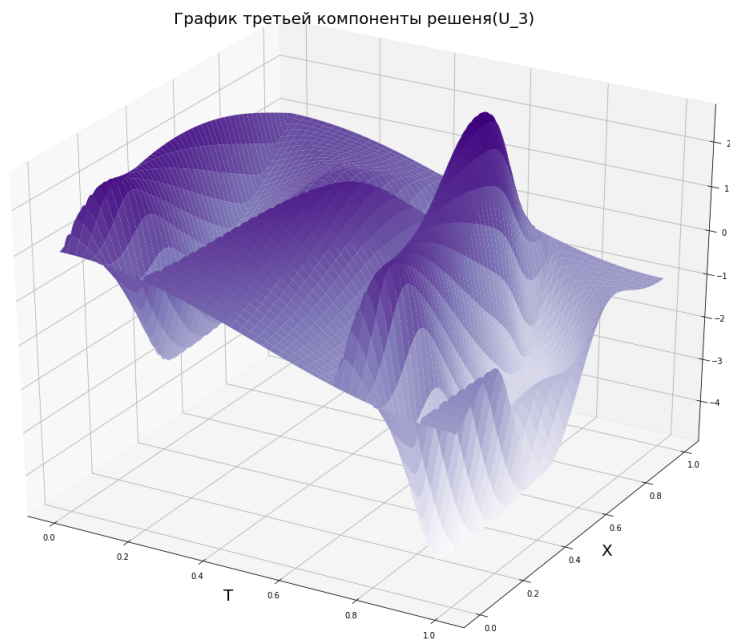
Out[7]:



In [8]:

im3

Out[8]:



Полностью симметричная разностная схема (схема бегущего счетчика)

Как и для схемы выше, все обозначения будем приводить для модельного уравнения. Схема будет иметь вид:

$$\frac{(u_{m+1}^{n+1} - u_m^{n+1}) - (u_{m+1}^n + u_m^n)}{2\tau} + a \frac{(u_{m+1}^{n+1} - u_{m+1}^n) + (u_m^{n+1} - u_m^n)}{2h} = 0$$

Запишем ПДП(П) для этой схемы:

$$u'_t + au'_x = u'''_{xxx} \frac{a^3}{6} (\tau^2 + h^2)$$

Из ПДП видно, что:

- 1) Схема имеет второй порядок аппроксимации по времени и по координате;
- 2) Схема безусловно устойчива;
- 3) Преобладает дисперсионная погрешность;

По теореме Годунова, не существует линейных монотонных схем, порядком аппроксимации выше первого, а это значит, что схема бегущего счетчика не будет монотонной.

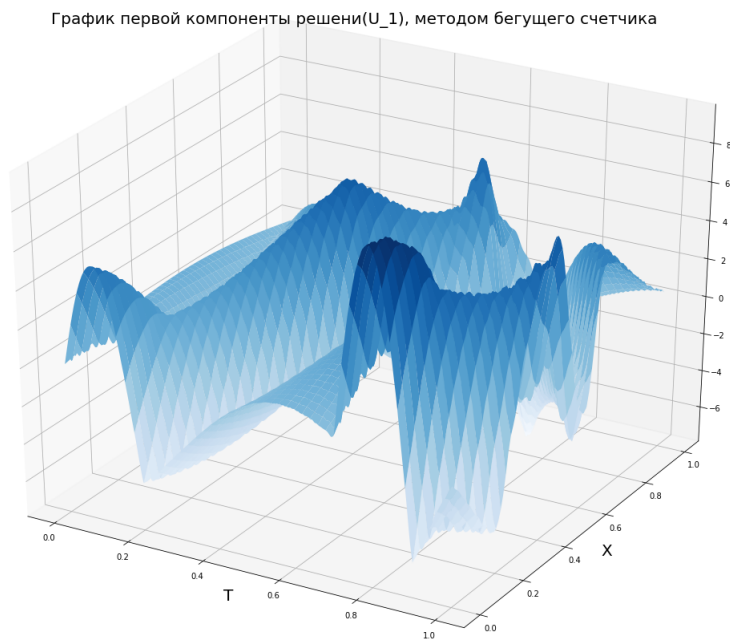
In [9]:

```
im1 = Image.open('SecondU.png')
im2 = Image.open('SecondV.png')
im3 = Image.open('SecondR.png')
```

In [10]:

```
im1
```

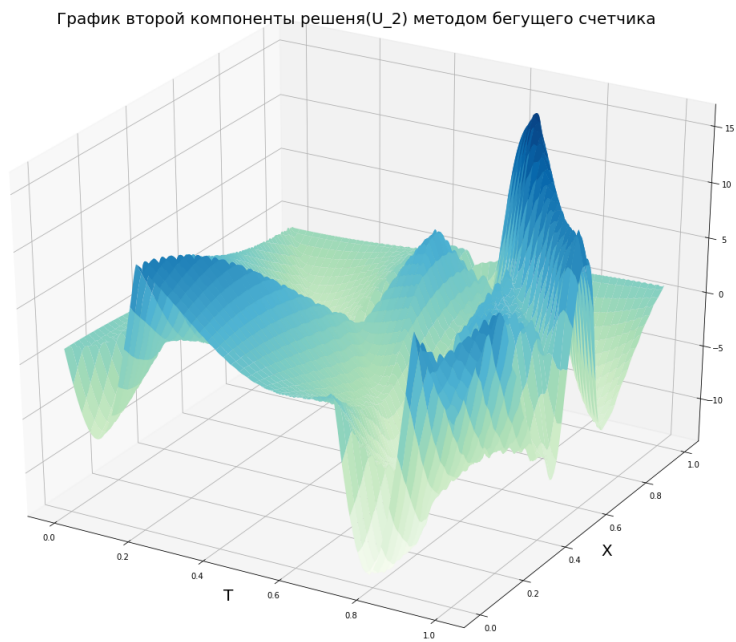
Out[10]:



In [11]:

```
im2
```

Out[11]:

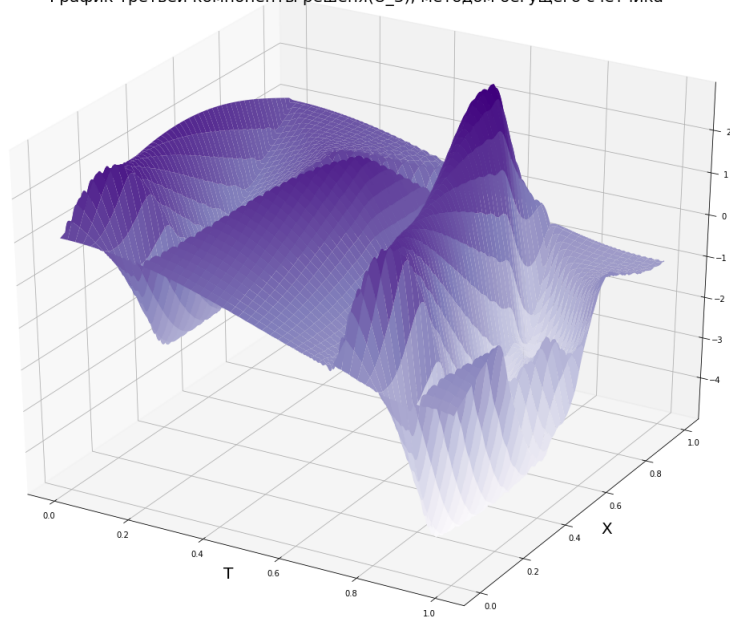


In [12]:

```
im3
```

Out[12]:

График третьей компоненты решения(U_3), методом бегущего счетчика



Оценка апостериорной погрешности

Для оценки апостериорной погрешности, нам нужно знать точное решение. Примем в качестве точного решения решение, вычисленное с помощью характеристики. В качестве нормы возьмем максимум различия между точным решением и численным. Кроме того, построим график зависимости логарифма ошибки от логарифма длины шага, и по его наклону вычислим апостериорный порядок сходимости.

Для схемы Лакса

Апостериорный порядок сходимости первой компоненты решения:

$$O(h^{1,925} + \tau^{2,1566})$$

Апостериорный порядок сходимости второй компоненты решения:

$$O(h^{2,13} + \tau^{2,47})$$

Апостериорный порядок сходимости третьей компоненты решения:

$$O(h^{1,586} + \tau^{2,0602})$$

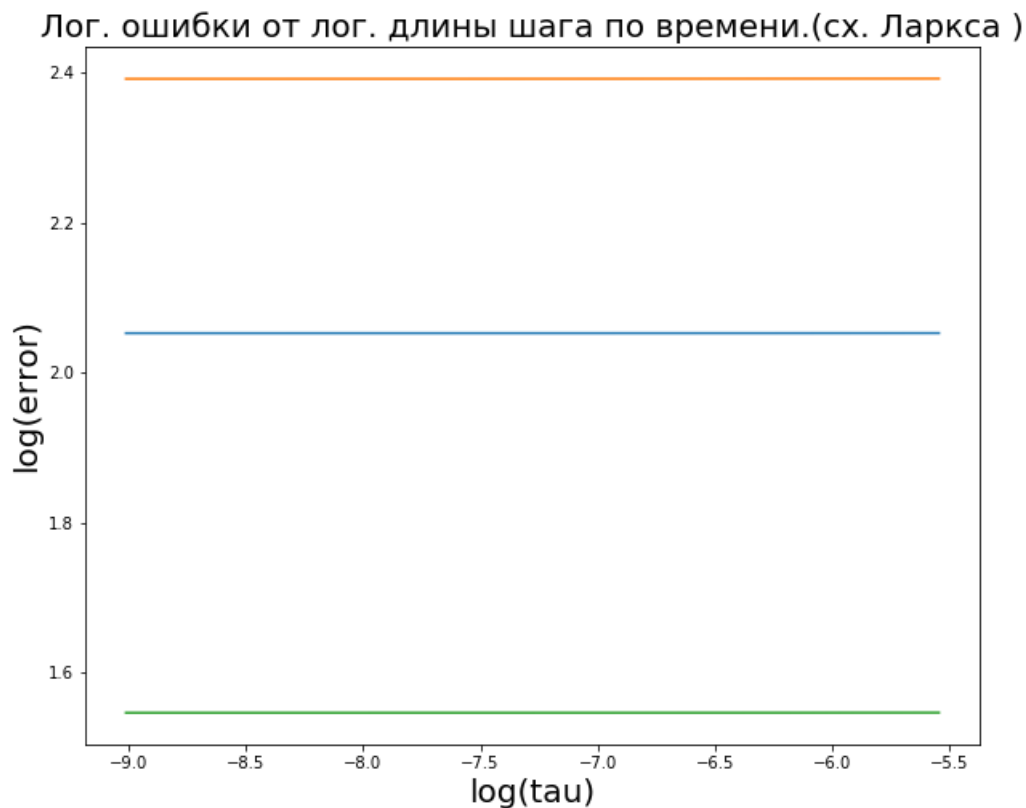
In [32]:

```
im1t = Image.open('errs1t.png')
im1x = Image.open('errs1x.png')
```

In [33]:

```
im1t
```

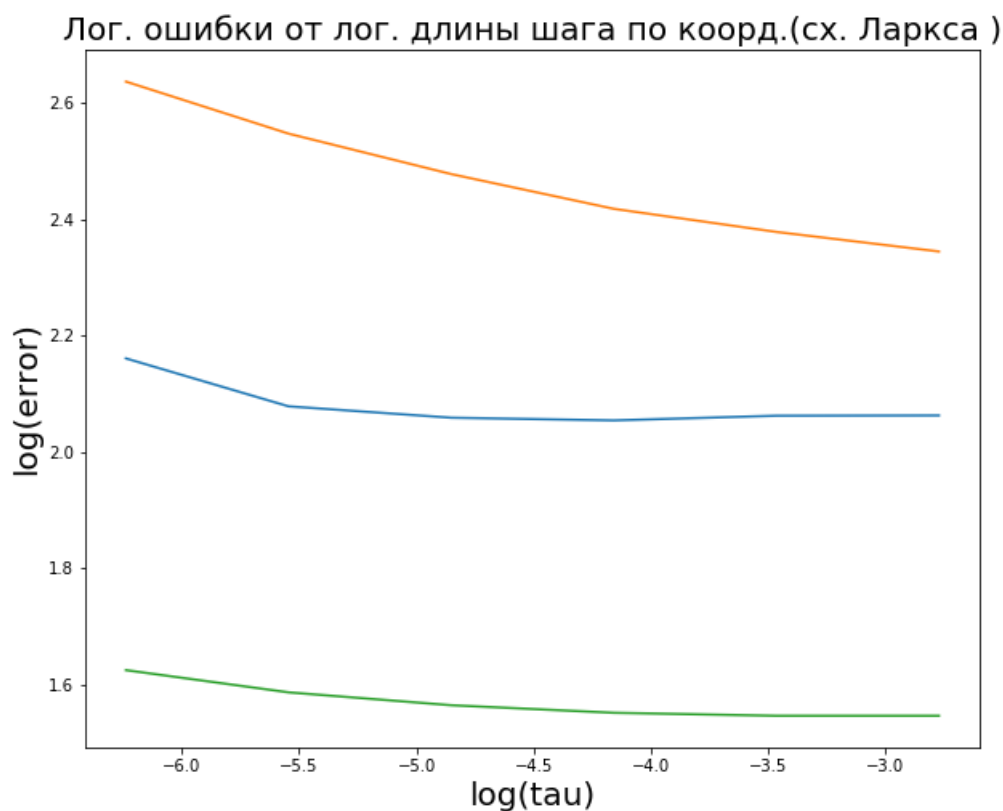
Out[33]:



In [34]:

im1x

Out[34]:



Для метода бегущего счетчика

Апостериорный порядок сходимости первой компоненты решения:

$$O(h^{1,925} + \tau^{2,1566})$$

Апостериорный порядок сходимости второй компоненты решения:

$$O(h^{2,13} + \tau^{2,47})$$

Апостериорный порядок сходимости третьей компоненты решения:

$$O(h^{1,586} + \tau^{2,0602})$$

Для убедительности приведем график:

In [26]:

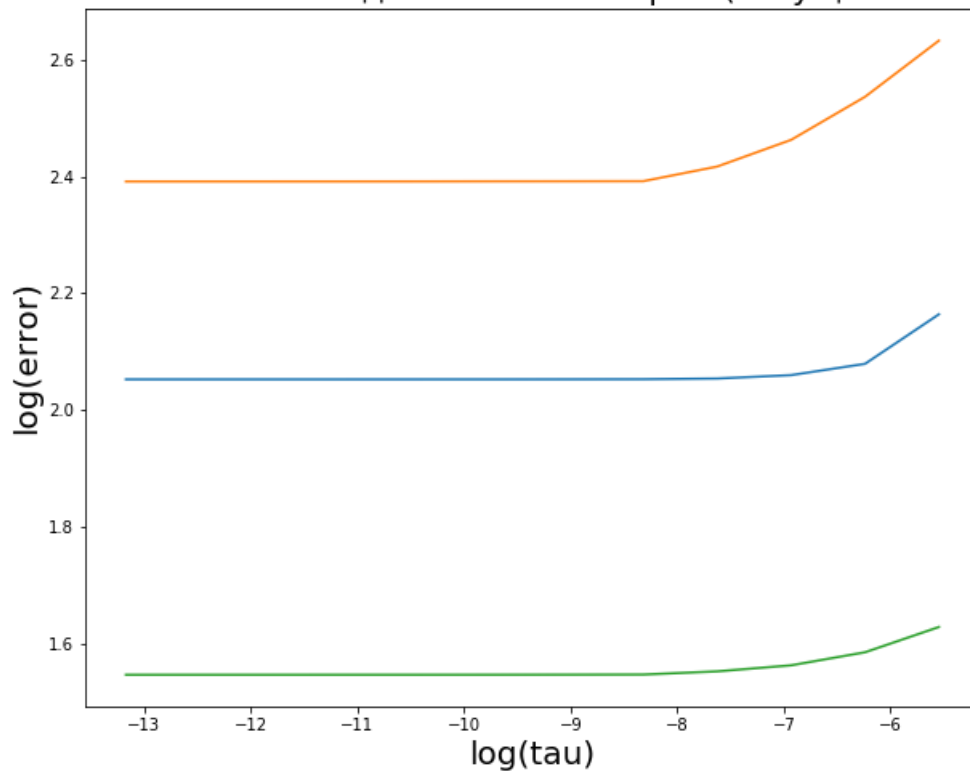
```
im2t = Image.open('errs2t.png')
im2x = Image.open('errs2x.png')
```

In [27]:

im2t

Out[27]:

Лог. ошибки от лог. длины шага по врем.(бегущий счетчик)

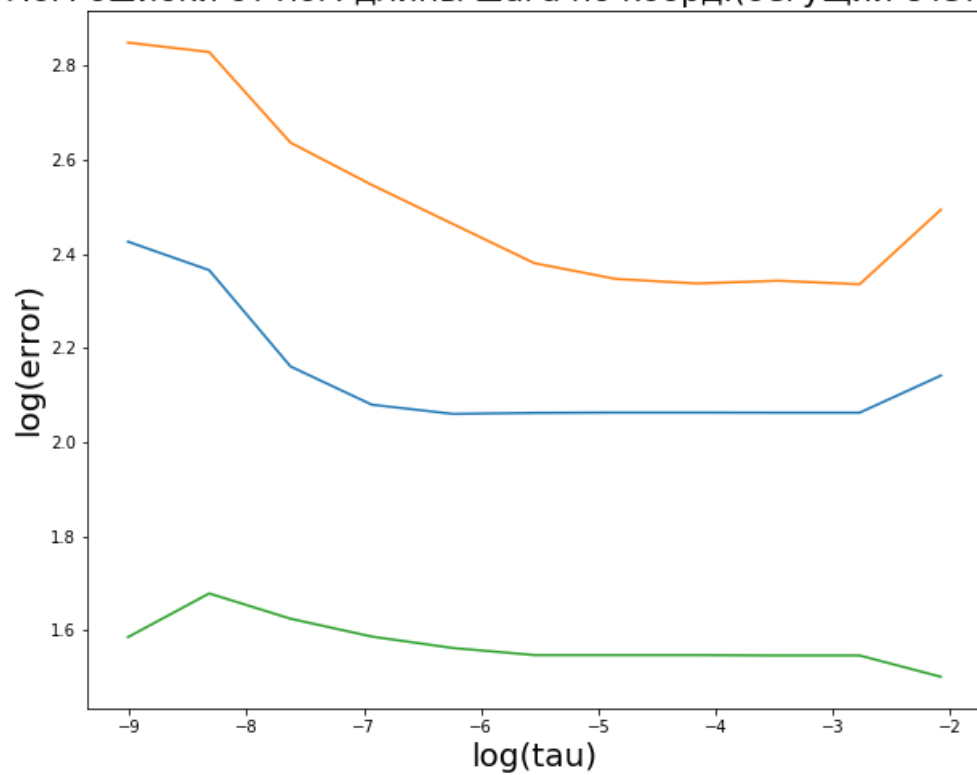


In [28]:

im2x

Out[28]:

Лог. ошибки от лог. длины шага по коорд.(бегущий счетчик)



Результаты и выводы

В ходе работы было исследовано две схемы решений уравнений гиперболического типа: схема Лакса и схема бегущего счетчика. Сравнение производилось по следующим признакам: априорный порядок сходимости, апостериорный порядок сходимости, монотонность и преобладание диссипативной или дисперсионной ошибки. Результаты представим в таблице:

In [35]:

```
res = Image.open('result.png')
res
```

Out[35]:

Результаты сравнения двух разностных схем		
Критерий	Схема Лакса	Схема бегущего счетчика
Априорный порядок сх. по времени	1	2
Априорный порядок сх. по коорд.	2	2
Апостериорный порядок сх. по врем.	2,082	2,0602
	2,586	2,47
	1,595	1,566
	1,978	1,925
	2,09	2,13
Апостериорный порядок сх. по коорд.	1,473	1,478
Монотонность	не монотонна	не монотонна
Ошибка	диссипативная	дисперсионная